

Lab_12_FEM_parabolico_(completo)

May 27, 2024

#Lab 12 - Metodo degli Elementi Finiti per problemi parabolici

Consideriamo il seguente problema tempo-dipendente nel caso monodimensionale, sul dominio $\Omega_T = \Omega \times [0, T)$, con $\Omega = (a, b)$:

Dati $\alpha : [0, T) \rightarrow \mathbb{R}$, $\beta : [0, T) \rightarrow \mathbb{R}$ e $u_0 : \Omega \rightarrow \mathbb{R}$, trovare $u : \Omega_T \rightarrow \mathbb{R}$ tale che:

$$\begin{cases} \partial_t u - \partial_x(\gamma \partial_x u) = f, & \text{in } \Omega_T, \\ u(a, t) = \alpha(t), & \text{per } t \in [0, T), \\ u(b, t) = \beta(t), & \text{per } t \in [0, T), \\ u(x, t = 0) = u_0, & \text{in } \Omega \times \{0\}. \end{cases}$$

Date condizioni al bordo di Dirichlet omogenee, la forma debole di questo problema è:

Trovare, $\forall t \in [0, T)$, $u(t) \in V = H_0^1(\Omega)$ tale che

$$m(\partial_t u, v) + a(u, v) = F(v), \quad \forall v \in V,$$

dove abbiamo definito:

$$m(u, v) = \int_a^b u v dx, \quad a(u, v) = \int_a^b \gamma \partial_x u \partial_x v dx, \quad F(v) = \int_a^b f v dx.$$

Fissato $t \in (0, T)$, la semi-discretizzazione in spazio si ottiene applicando il **Metodo degli Elementi Finiti**, scegliendo un sottospazio $V_h \subset V$ di dimensione N_h finita e una sua base di funzioni linearmente indipendenti $\{\phi_j\}_{j=1}^{N_h}$. Il problema semi-discreto può quindi essere scritto in forma matriciale come segue:

Trovare, $\forall t \in [0, T)$, $\mathbf{u}(t) \in \mathbb{R}^{N_h}$ tale che

$$\mathbf{M} d_t \mathbf{u}(t) + \mathbf{A} \mathbf{u}(t) = \mathbf{f}(t),$$

dove $\mathbf{M} \in \mathbb{R}^{N_h \times N_h}$: $m_{ij} = m(\phi_j, \phi_i)$ è la matrice di massa degli Elementi Finiti; $\mathbf{A} \in \mathbb{R}^{N_h \times N_h}$: $a_{ij} = a(\phi_j, \phi_i)$ è la matrice di rigidità; $\mathbf{f}(t) \in \mathbb{R}^{N_h}$: $\mathbf{f}(t) = [\mathbf{M}[f_1(t), \dots, f_{N_h}(t)]^T]_i$ è il vettore termine noto; $\mathbf{u}(t) \in \mathbb{R}^{N_h}$: $\mathbf{u}(t) = [u_1(t), \dots, u_{N_h}(t)]^T$.

Per il calcolo di \mathbf{A} e \mathbf{M} utilizziamo lo spazio degli Elementi Finiti

$$X_{h,0}^r = \{v_h \in \mathcal{C}([0, T]) : v_h|_{[x_{i-1}, x_i]} \in \mathbb{P}_r(x_{i-1}, x_i)\} \cap \mathcal{C}([0, L]).$$

Il problema in tempo è quindi una ODE e può essere riscritto come segue:

$$\begin{cases} d_t \mathbf{u}(t) = \tilde{\mathbf{f}}(t, \mathbf{u}(t)), & t \in [0, T), \\ \mathbf{u}(0) = \mathbf{u}_0, \end{cases}$$

con termine noto $\tilde{\mathbf{f}}(t, \mathbf{u}(t)) = -\mathbf{M}^{-1} \mathbf{A} \mathbf{u}(t) + \mathbf{M}^{-1} \mathbf{f}(t)$.

Dividiamo quindi $[0, T]$ in N_t sottointervalli (t_n, t_{n+1}) tali che $t_0 = 0$, $t_{N_t} = T$, $t_n = n\Delta t$, con passo temporale $\Delta t = T/N_t$ e definiamo $\mathbf{u}^n = \mathbf{u}(t_n)$, $n = 0, \dots, N_t$.

Discretizziamo la derivata in tempo come:

$$d_t \mathbf{u} \simeq \frac{\mathbf{u}^{n+1} - \mathbf{u}^n}{\Delta t}$$

e applichiamo il θ -metodo per discretizzare la ODE:

$$\frac{\mathbf{u}^{n+1} - \mathbf{u}^n}{\Delta t} = \theta \tilde{\mathbf{f}}^{n+1} + (1 - \theta) \tilde{\mathbf{f}}^n, \quad \theta \in [0, 1].$$

Sostituendo qui l'espressione di $\tilde{\mathbf{f}}$ otteniamo:

$$\mathbf{M} \frac{\mathbf{u}^{n+1} - \mathbf{u}^n}{\Delta t} + \theta \mathbf{A} \mathbf{u}^{n+1} + (1 - \theta) \mathbf{A} \mathbf{u}^n = \theta \mathbf{f}^{n+1} + (1 - \theta) \mathbf{f}^n, \quad \theta \in [0, 1].$$

Infine, il problema discreto diventa:

$\forall n = 1, \dots, N_t$ trovare $\mathbf{u}^n \in \mathbb{R}^{N_h}$ tale che

$$\begin{cases} (\frac{\mathbf{M}}{\Delta t} + \theta \mathbf{A}) \mathbf{u}^{n+1} = (\frac{\mathbf{M}}{\Delta t} - (1 - \theta) \mathbf{A}) \mathbf{u}^n + \theta \mathbf{f}^{n+1} + (1 - \theta) \mathbf{f}^n, & \forall n = 1, \dots, N_t, \\ \mathbf{u}^0 = \mathbf{u}_0. \end{cases}$$

A partire dall'istante $n = 0$, possiamo ricavare iterativamente tutti i valori di \mathbf{u} al passo successivo attraverso la risoluzione di un sistema lineare:

Theta-metodo. Input: $\{\mathbf{f}^n\}_{n=1}^{N_t}$, \mathbf{u}_0 , θ . *Output:* \mathbf{U}

1. Inizializzo $\mathbf{u}_n = \mathbf{u}_0$, $\mathbf{U} = [\mathbf{u}_n]$;
2. For $n = 1, \dots, N_t$

2.1. Calcolo \mathbf{u}_{n+1} come soluzione del sistema lineare dato dal *theta*-metodo con parametro θ ;

2.2. Aggiorno $\mathbf{u}_n = \mathbf{u}_{n+1}$;

2.3. $\mathbf{U} = [\mathbf{U}, \mathbf{u}_{n+1}]$.

Il θ -metodo è incondizionatamente assolutamente stabile per $\theta \in [0.5, 1]$ e condizionatamente assolutamente stabile per $\theta \in [0, 0.5)$, con condizione di stabilità

$$\Delta t \leq \frac{2}{\max |\lambda(\mathbf{M}^{-1} \mathbf{A})|} \approx c h^2,$$

dove $\lambda(\mathbf{M}^{-1} \mathbf{A})$ indica gli autovalori della matrice $\mathbf{M}^{-1} \mathbf{A}$, da cui dipende la costante $c > 0$.

#Esercizio 1: problema del calore

Dato il problema

$$\begin{cases} \partial_t u - \partial_x D \partial_x u = f(x), & \text{in } (0, L) \times [0, T), \\ u(0, t) = u(L, t) = 0, & \text{per } t \in [0, T), \\ u(x, 0) = u_0, & \text{in } (0, L), \end{cases}$$

con $D = 1$, $L = 1$, $T = 1$,

$$u_0(x) = \sin(\pi x), \quad f(x, t) = (\pi^2 - 2) \sin(\pi x) e^{-2t}.$$

Si consideri la function seguente funzione

```
heatSolve(D, f, L, h, u0, T, dt, theta)
##
##
return V,u,t
```

dove in input abbiamo:

- D il coefficiente di diffusione;
- f termine noto;
- L lunghezza dell'intervallo spaziale;
- h passo della griglia spaziale;
- u_0 dato iniziale;
- T istante di tempo finale;
- dt passo temporale;
- θ , parametro del theta-metodo;

ed in output

- V spazio FEM;
- u matrice contenente i corrispondenti valori della soluzione $u_{i,n} = u_i(t^n)$, $i = 1, \dots, N_h$, $n = 1, \dots, N_T$;
- t vettore contenente gli istanti temporali: t^n , $n = 0, \dots, N_t$.

Esercizio 1.1

Si implementi il θ -metodo per la risoluzione del problema in tempo nella function `heatSolve`.

```
[ ]: import matplotlib.pyplot as plt
import numpy as np
from fem import install

install()

[ ]: from fem import Line, generate_mesh, FESpace, assemble, interpolate, deriv, dx, \
    ds, DirichletBC, applyBCs, dof2fun, fun2dof, dofs, plot

def heatSolve(D,f,u0,L,h,T,dt,theta):
    """
    Input:
        D          (float)          Coefficiente di diffusione (positivo).
```

<i>f</i>	<i>(lambda function)</i>	<i>Forzante. Si assume $f = f(x,t)$.</i>
<i>u0</i>	<i>(lambda function)</i>	<i>Condizione iniziale.</i>
<i>L</i>	<i>(float)</i>	<i>Lunghezza dell'intervallo spaziale.</i>
<i>h</i>	<i>(float)</i>	<i>Passo della griglia spaziale.</i>
<i>T</i>	<i>(float)</i>	<i>Tempo finale</i>
<i>dt</i>	<i>(float)</i>	<i>Passo temporale.</i>
<i>theta</i>	<i>(float)</i>	<i>Parametro del theta-metodo.</i>

Output:

<i>V</i>	<i>spazio elementi finiti</i>
<i>u</i>	<i>(numpy.ndarray)-> matrix Matrice contenente la soluzione approssimata del problema. U_{ij} approssima $u(\text{dof}_i, t_j)$: ogni colonna è un tempo fissato.</i>
<i>t</i>	<i>(numpy.ndarray)-> vector Griglia temporale.</i>

```

"""
# costruisco il dominio
domain = Line(0, L)
# costruisco la mesh
mesh = generate_mesh(domain, stepsize = h)
# costruisco lo spazio FEM di grado 1
V = FEspace(mesh, 1)

# costruisco la griglia temporale
nt = np.ceil(T/dt)+1
t = np.zeros(int(nt))

# inizializzo la soluzione
u = np.zeros((dofs(V).size, int(nt)))

# definisco la condizione iniziale
u0h = fun2dof(interpolate(u0,V))
u[:, 0] = u0h

# matrice di massa
def m(u, v):
    return u*v*dx
# assemblaggio matrice di massa
M = assemble(m, V)

# matrice di diffusione
def a(u,v):
    return deriv(u)*deriv(v)*dx
# assemblaggio matrice di diffusione
A = D*assemble(a,V)

# ciclo temporale

```

```

for n in range(int(nt)-1):
    # costruzioni termini noti al tempo dt e dt+1
    t_old = n*dt
    t_new = (n+1)*dt

    fold = lambda x: f(x,t_old)
    fnew = lambda x: f(x,t_new)

    fold_h = interpolate(fold, V)
    def lold(v):
        return fold_h*v*dx
    Fold = assemble(lold, V)

    fnew_h = interpolate(fnew, V)
    def lnew(v):
        return fnew_h*v*dx
    Fnew = assemble(lnew, V)

    # condizioni al bordo omogenee di tipo dirichlet
    def isLeftNode(x):
        return x < 1e-12

    def isRightNode(x):
        return x > L - 1e-12

    dbc1 = DirichletBC(isLeftNode, 0.0)
    dbc2 = DirichletBC(isRightNode, 0.0)

    A = applyBCs(A, V, dbc1, dbc2)
    M = applyBCs(M, V, dbc1, dbc2)
    Fold = applyBCs(Fold, V, dbc1, dbc2)
    Fnew = applyBCs(Fnew, V, dbc1, dbc2)

    # Costruzione del sistema lineare e sua risoluzione
    B = (M/dt+theta*A)
    b = (M/dt-(1-theta)*A)*u[:,n] + theta*Fnew +(1-theta)*Fold

    from scipy.sparse.linalg import spsolve

    u[:,n+1] = spsolve(B, b)
    t[n+1] = t_new

return V,u,t

```

Esercizio 1.2

Risolvere il problema con i seguenti dati: $h = 0.1$, $\Delta t = 0.01$ e $\theta = 0.5$.

```
[ ]: # Dati del problema del calore
T=1
dt = 0.01
# intervallo
L=1
h=0.1
# coefficiente di diffusione
D=1
# parametro per il theta methodo
theta = 0.5
# termine noto
f = lambda x, t: (np.pi*np.pi -2)*np.sin(np.pi*x)*np.exp(-2*t)
# condizione iniziale
u0 = lambda x: np.sin(np.pi*x)

# risoluzione equazione del calore
V,u,t = heatSolve(D,f,u0,L,h,T,dt,theta)
```

Esercizio 1.3

Data la soluzione esatta

$$u_{\text{ex}}(x, t) = \sin(\pi x)e^{-2t}$$

rappresentare su due grafici la soluzione esatta e la soluzione approssimata in $[0, T)$.

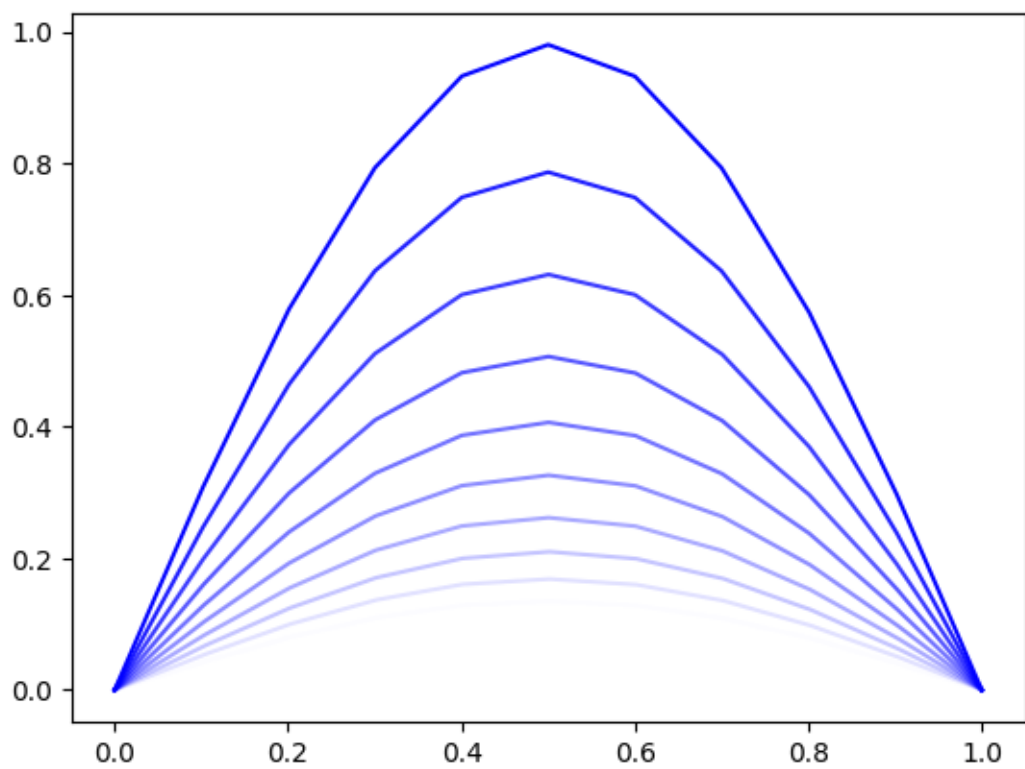
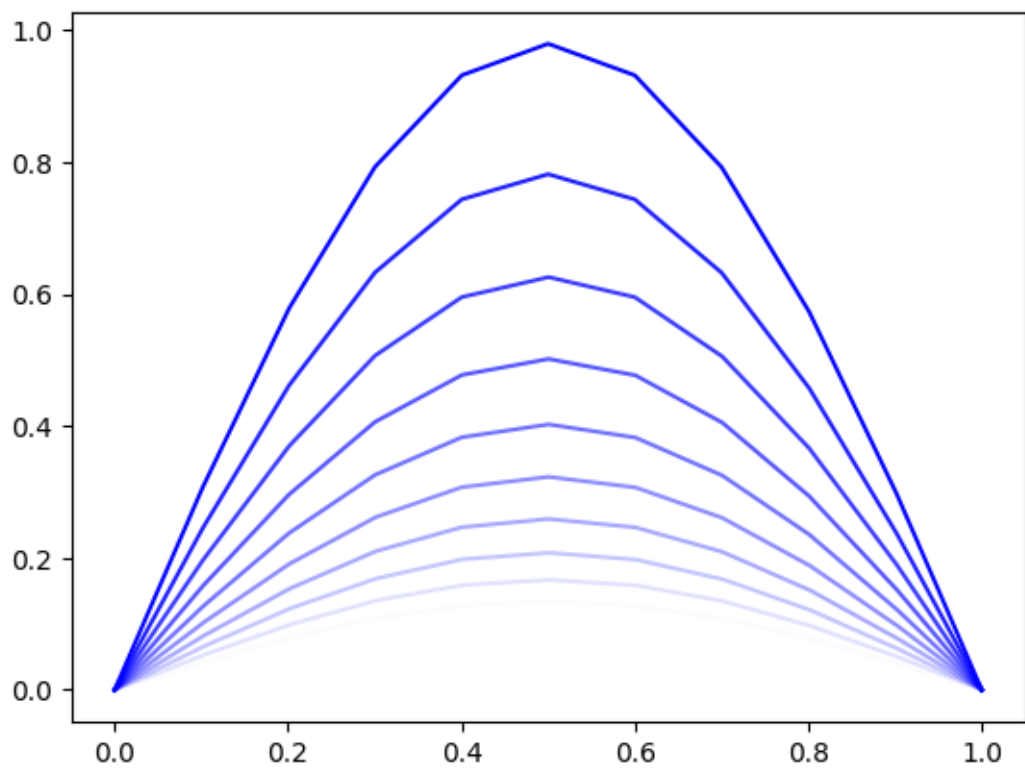
```
[ ]: from fem import xtplot

uex = lambda x,t: np.sin(np.pi*x)*np.exp(-2*t);

# questo serve per la rappresentazione della soluzione esatta
uex_t = np.zeros(u.shape)
k=0
for i in t:
    uext = lambda x: uex(x,i)
    uext =interpolate(uext,V)
    uex_t[:,k] = fun2dof(uext)
    k=k+1;

# soluzione approssimata
xtplot(V,u,t,'fade')
plt.show()

# soluzione esatta
xtplot(V,uex_t,t,'fade')
plt.show()
```



Esercizio 1.4

Calcolare l'errore

$$e(h, \Delta t) := \max_{t^n} \sqrt{\int_0^L |u_{ex}(x, t^n) - u_h(x, t^n)|^2 dx}$$

cioè il massimo, in tempo, degli errori in norma L^2 , dove $u_h(x, t^n) := \sum_{i=1}^{N_h} u_{i,n} \phi_i(x)$.

```
[ ]: from fem import L2error

domain = Line(0, L)

err_t = []
for i in range(len(t)):
    uext = lambda x: uex(x,t[i])
    uht = dof2fun(u[:,i], V)
    err_t.append(L2error(uext, uht, domain))

err = max(err_t)

print(err)
```

0.008293779025060139

Esercizio 1.5

Risolvere il problema con $h = 0.01$ e $\theta = 1$ per Δt che assume i valori $\{0.2, 0.1, 0.05, 0.025\}$ e rappresentare su un grafico l'andamento dell'errore $e(h, \Delta t)$ al variare di Δt . Cosa si osserva?

```
[ ]: h = 0.01
theta = 1

errors = []

dts = [0.2, 0.1, 0.05, 0.025]
for dt in dts:
    V,u,t = heatSolve(D,f,u0,L,h,T,dt,theta)

    err_t = []

    for i in range(len(t)):
        uext = lambda x: uex(x,t[i])
        uht = dof2fun(u[:,i], V)
        err_t.append(L2error(uext, uht, domain))

    err = max(err_t)
```

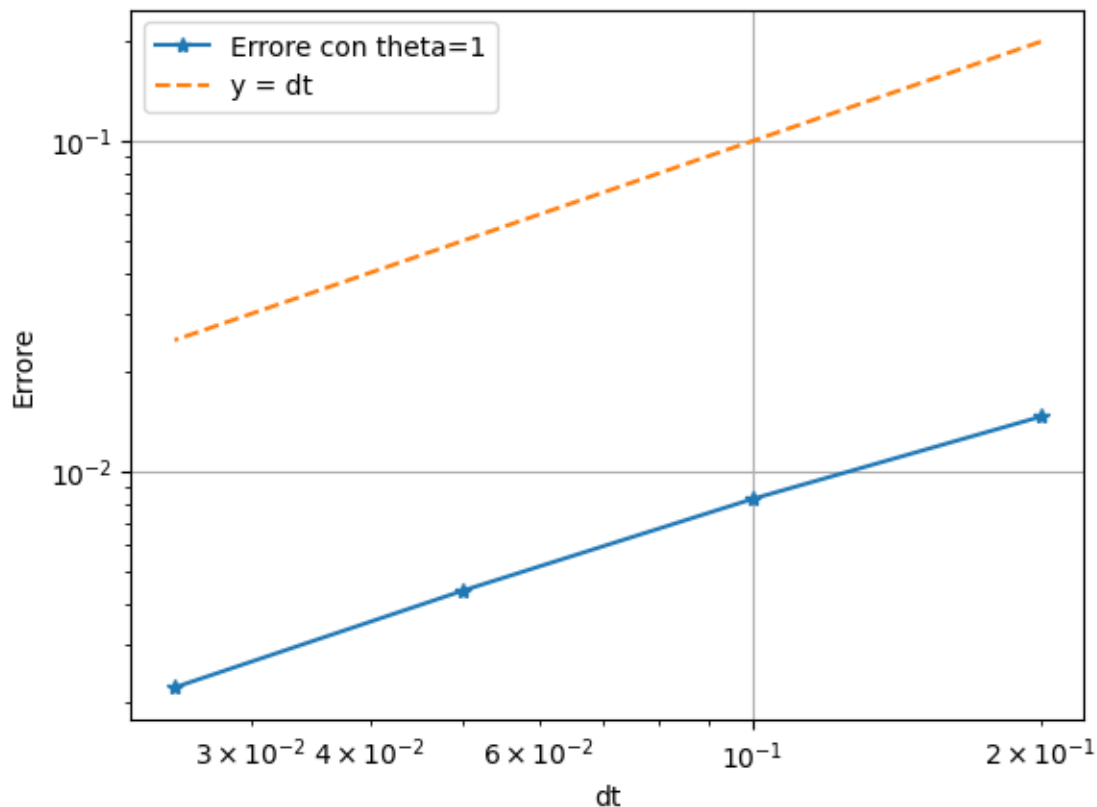


```

errors.append(err)

plt.figure()
plt.loglog(dts, errors, '*-')
plt.loglog(dts,dts, '--')
plt.grid()
plt.xlabel('dt')
plt.ylabel('Errore')
plt.legend(['Errore con theta=1','y = dt'])
plt.show()

```



Il grafico rappresenta l'andamento del massimo errore in norma L^2 sul ogni griglia temporale considerata, confrontato con la linea $y = dt$. Osserviamo che l'errore decresce per passi temporali ridotti e l'ordine di convergenza è pari a 1.

Esercizio 1.6

Risolvere il problema con $h = 0.01$ e $\theta = 0$ per Δt che assume i valori $\{0.2, 0.1, 0.05, 0.025\}$ e rappresentare su un grafico l'andamento dell'errore $e(h, \Delta t)$ al variare di Δt . Cosa si osserva?

```
[ ]: theta = 0
```

```

errors = []

dts = [0.2, 0.1, 0.05, 0.025]
for dt in dts:
    V,u,t = heatSolve(D,f,u0,L,h,T,dt,theta)

    err_t = []

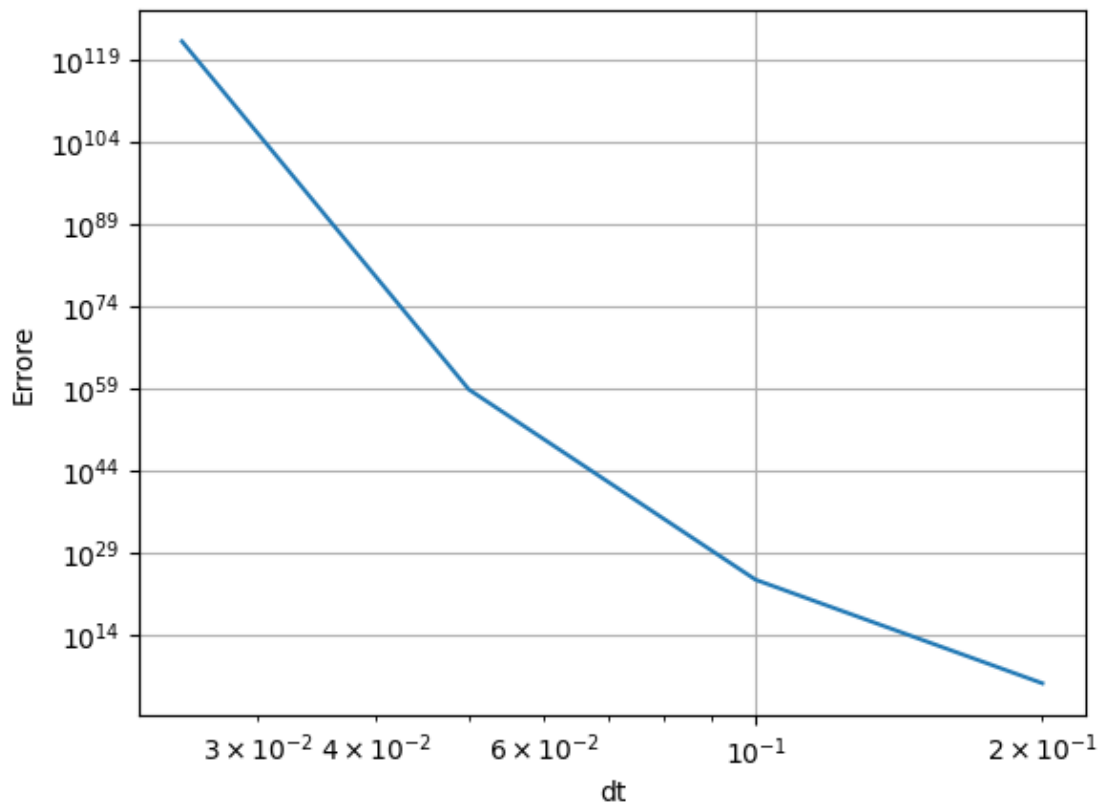
    for i in range(len(t)):
        uext = lambda x: uex(x,t[i])
        uht = dof2fun(u[:,i], V)
        err_t.append(L2error(uext, uht, domain))

    err = max(err_t)

    errors.append(err)

plt.figure()
plt.loglog(dts, errors)
plt.grid()
plt.xlabel('dt')
plt.ylabel('Erreur')
plt.show()

```



L'errore esplode al decrescere del passo temporale scelto. Infatti il metodo è condizionatamente stabile per $\theta \in [0, 0.5)$ e la condizione $\Delta t \leq ch^2$ sul rapporto tra i passi delle due griglie non è rispettata.

#Esercizio 2: problema diffusione-trasporto tempo dipendente

Si consideri il problema di diffusione-trasporto tempo dipendente

$$\begin{cases} \partial_t u = a \partial_{xx} u - b \partial_x u + f(x), & \text{in } (0, L) \times [0, T), \\ u(0, t) = 0, \quad u(L, t) = 0, & \text{per } t \in [0, T), \\ u(x, 0) = u_0, & \text{in } (0, L) \end{cases}$$

con coefficienti costanti, $a = 10^{-2}$, $b = 1$, $L = 1$, $T = 0.25$, forzante nulla, $f(x, t) \equiv 0$, e profilo iniziale

$$u_0(x) = \begin{cases} \cos^4(4\pi x - 2\pi) & 0.375 \leq x \leq 0.625 \\ 0 & \text{altrimenti.} \end{cases}$$

Si consideri la function

```
parabolicSolve(a, b, f, L, h, u0, T, dt, theta)
##
##
return V,u,t
```

dove in input abbiamo:

- a, b coefficiente di diffusione e trasporto, rispettivamente;
- f termine noto;
- L lunghezza dell'intervallo spaziale;
- h passo della griglia spaziale;
- u_0 dato iniziale;
- T istante di tempo finale;
- dt passo temporale;
- θ , parametro del theta-metodo;

ed in output

- V spazio FEM;
- u matrice contenente i corrispondenti valori della soluzione $u_{i,n} = u_i(t^n)$, $i = 1, \dots, N_h$, $n = 1, \dots, N_T$;
- t vettore contenente gli istanti temporali: t^n , $n = 0, \dots, N_t$.

```
[ ]: from fem import Line, generate_mesh, FESpace, assemble, interpolate, deriv, dx, \
    ds, DirichletBC, applyBCs, dof2fun, fun2dof, dofs, plot

def parabolicSolve(a,b,f,u0,L,h,T,dt,theta):
    """
    Input:
        a          (float)          Coefficiente di diffusione (positivo).
```

<code>b</code>	<code>(float)</code>	<i>Velocità di trasporto.</i>
<code>f</code>	<code>(lambda function)</code>	<i>Forzante. Si assume $f = f(x,t)$.</i>
<code>u0</code>	<code>(lambda function)</code>	<i>Condizione iniziale.</i>
<code>L</code>	<code>(float)</code>	<i>Lunghezza dell'intervallo spaziale.</i>
<code>h</code>	<code>(float)</code>	<i>Passo della griglia spaziale.</i>
<code>T</code>	<code>(float)</code>	<i>Tempo finale</i>
<code>dt</code>	<code>(float)</code>	<i>Passo temporale.</i>
<code>theta</code>	<code>(float)</code>	<i>Parametro del theta-metodo.</i>

Output:

<code>V</code>		<i>spazio elementi finiti</i>
<code>u</code>	<code>(numpy.ndarray)-> matrix</code>	<i>Matrice contenente la soluzione approssimata del problema. U_{ij} approssima $u(\text{dof}_i, t_j)$: ogni colonna è un tempo fissato.</i>
<code>t</code>	<code>(numpy.ndarray)-> vector</code>	<i>Griglia temporale.</i>

```

"""
# costruisco il dominio
domain = Line(0, L)
# costruisco la mesh
mesh = generate_mesh(domain, stepsize = h)
# costruisco lo spazio FEM di grado 1
V = FESpace(mesh, 1)

# costruisco la griglia temporale
nt = np.ceil(T/dt)+1
t = np.zeros(int(nt))

# inizializzo la soluzione
u = np.zeros((dofs(V).size, int(nt)))

# definisco la condizione iniziale
u0h = fun2dof(interpolate(u0,V))
u[:, 0] = u0h

# matrice di massa
def m(u, v):
    return u*v*dx
# assemblaggio matrice di massa
M = assemble(m, V)

# matrice di diffusione
def a_diff(u,v):
    return deriv(u)*deriv(v)*dx
# assemblaggio matrice di diffusione
A_diff = assemble(a_diff,V)

```

```

# matrice di trasporto
def a_trasp(u,v):
    return deriv(u)*v*dx
# assemblaggio matrice di trasporto
A_trasp = assemble(a_trasp, V)

A = a*A_diff + b*A_trasp

# ciclo temporale
for n in range(int(nt)-1):
    # costruzioni termini noti al tempo dt e dt+1
    t_old = n*dt
    t_new = (n+1)*dt

    fold = lambda x: f(x,t_old)
    fnew = lambda x: f(x,t_new)

    fold_h = interpolate(fold, V)
    def lold(v):
        return fold_h*v*dx
    Fold = assemble(lold, V)

    fnew_h = interpolate(fnew, V)
    def lnew(v):
        return fnew_h*v*dx
    Fnew = assemble(lnew, V)

# condizioni al bordo omogenee di tipo dirichlet
def isLeftNode(x):
    return x < 1e-12

def isRightNode(x):
    return x > L - 1e-12

dbc1 = DirichletBC(isLeftNode, 0.0)
dbc2 = DirichletBC(isRightNode, 0.0)

A = applyBCs(A, V, dbc1, dbc2)
M = applyBCs(M, V, dbc1, dbc2)
Fold = applyBCs(Fold, V, dbc1, dbc2)
Fnew = applyBCs(Fnew, V, dbc1, dbc2)

# Costruzione del sistema lineare e sua risoluzione
B = (M/dt+theta*A)
b = (M/dt-(1-theta)*A)*u[:,n] + theta*Fnew +(1-theta)*Fold

from scipy.sparse.linalg import spsolve

```

```

u[:,n+1] = spsolve(B, b)
t[n+1] = t_new

return V,u,t

```

Esercizio 2.1

Si testi la funzione *parabolicSolve* con $h = 0.005$, $\Delta t = 0.001$.

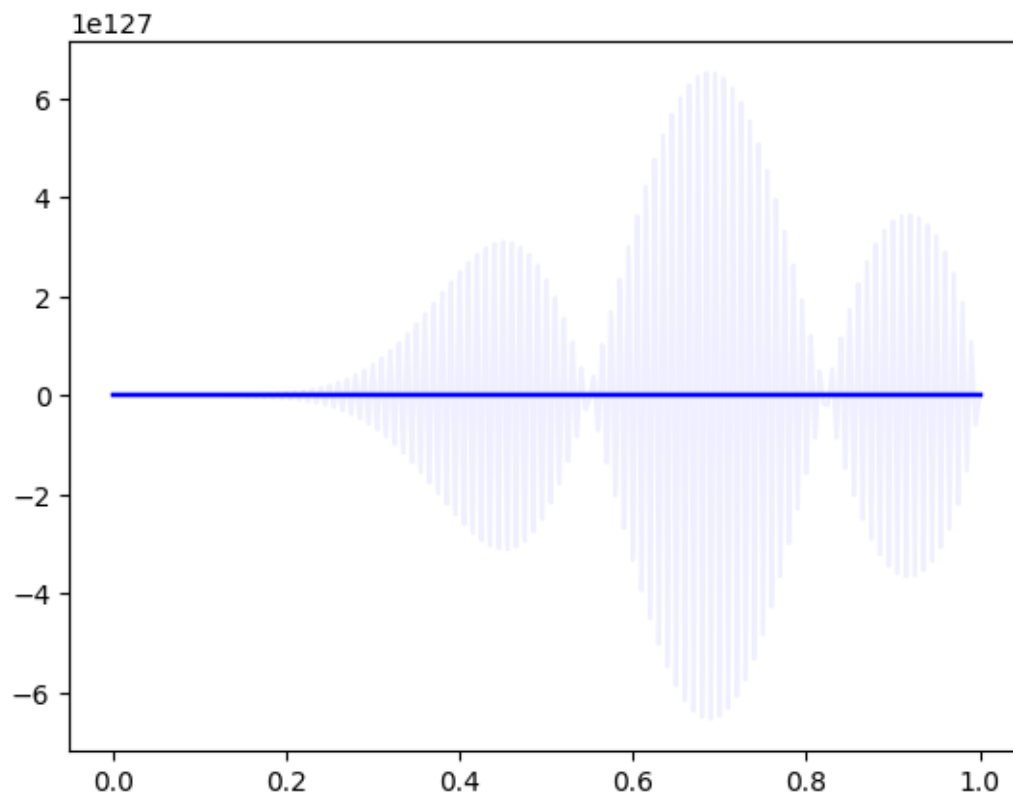
```

[ ]: # Dati del problema
a = 0.01
b = 1
L = 1
h = 0.005
T = 0.25
dt = 0.001

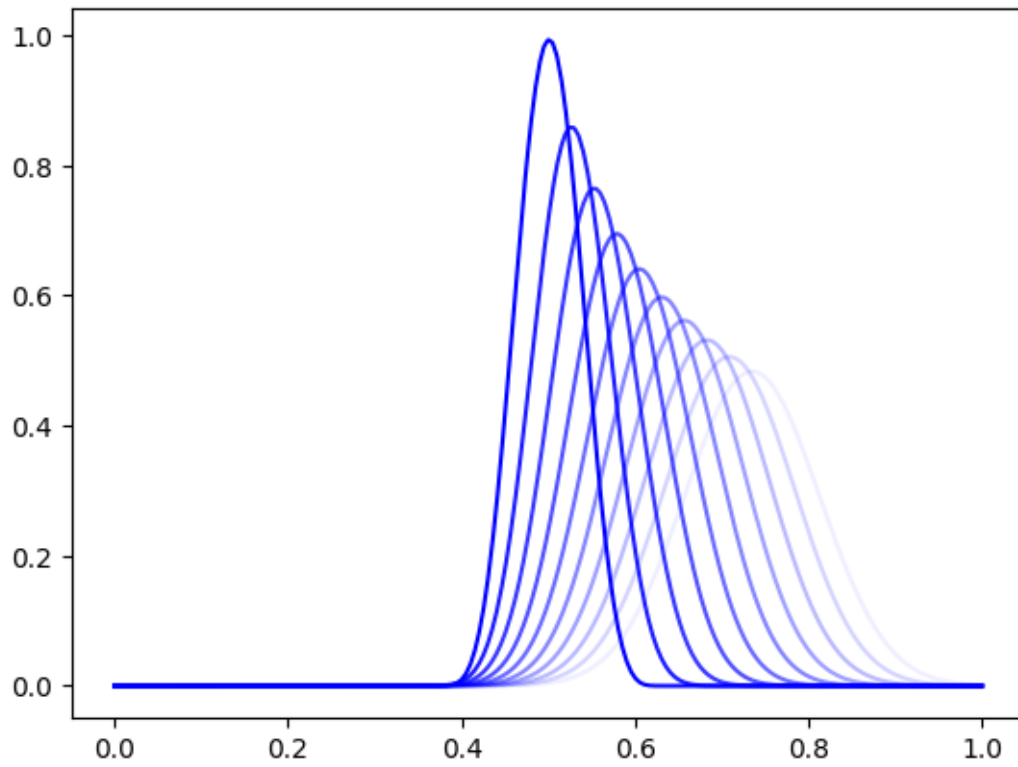
# termine noto
f = lambda x,t : 0*x*t
# dato iniziale
u0 = lambda x : np.cos(4*np.pi*x - 2*np.pi)**4 * (x <= 0.625) * (x >= 0.375)

[ ]: # theta = 0.0
V,u,t = parabolicSolve(a,b,f,u0,L,h,T,dt,0)
xtplot(V,u,t,'fade')
plt.show()

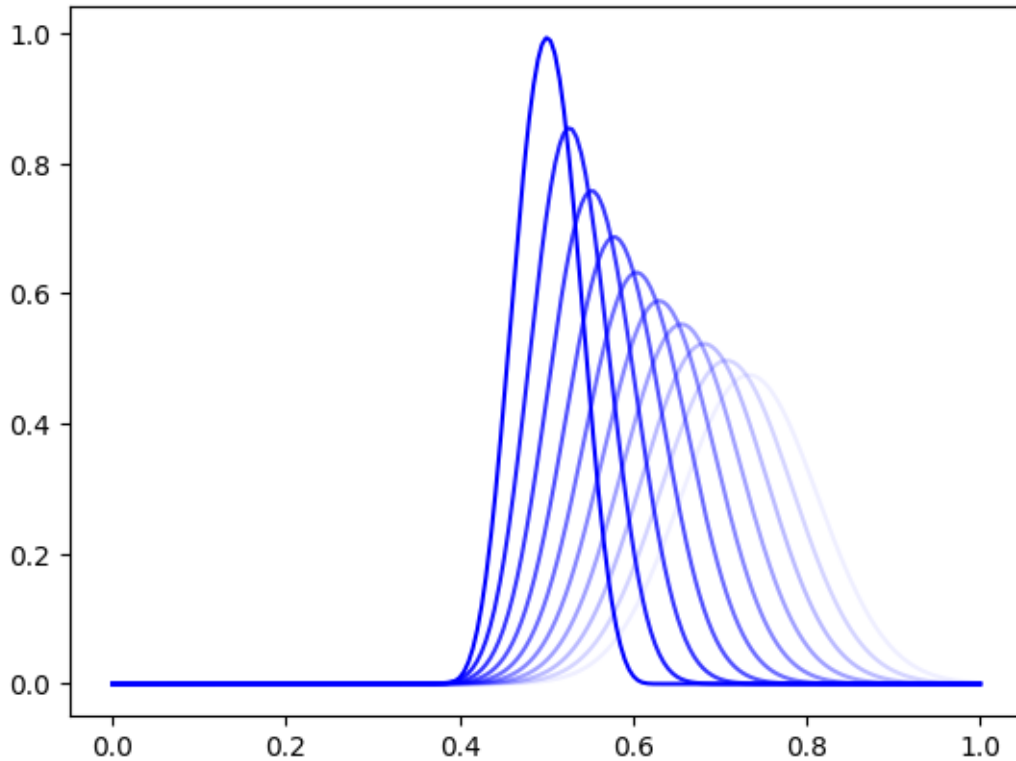
```



```
[ ]: # theta = 0.5
V,u,t = parabolicSolve(a,b,f,u0,L,h,T,dt,0.5)
xtplot(V,u,t,'fade')
plt.show()
```



```
[ ]: # theta = 1
V,u,t = parabolicSolve(a,b,f,u0,L,h,T,dt,1)
xtplot(V,u,t,'fade')
plt.show()
```

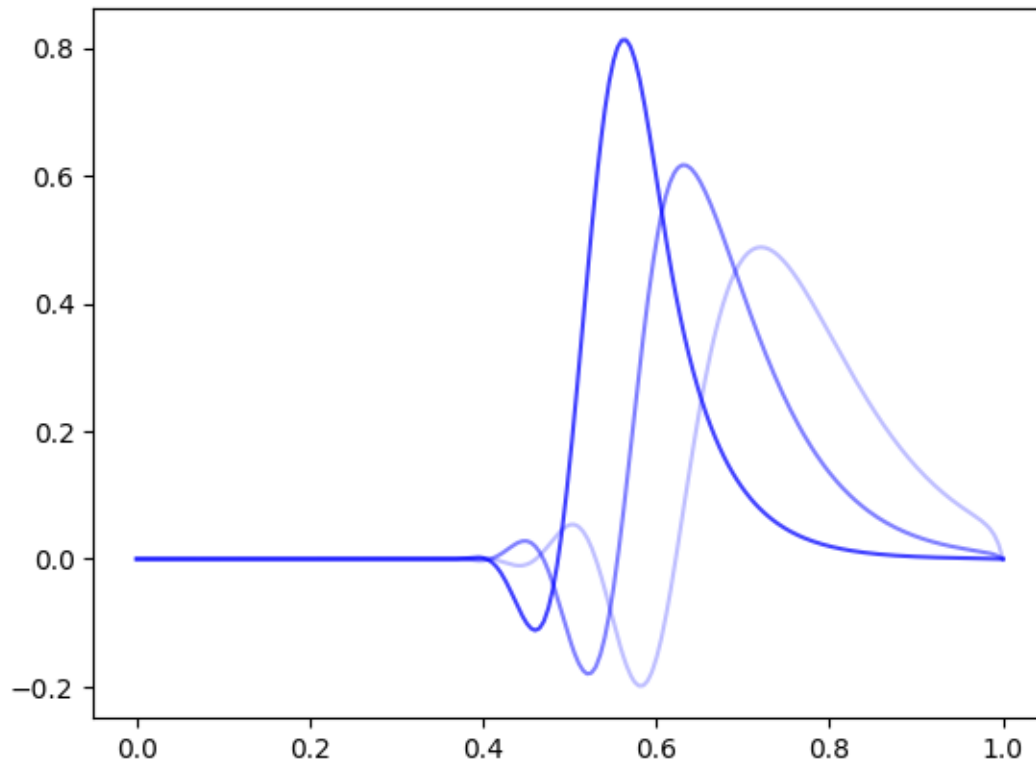



Per $\theta \in [0, 0.5)$ il metodo è condizionatamente stabile e i passi scelti per le griglie si trovano al di fuori della regione di assoluta stabilità per $\theta = 0$ e all'interno della regione di assoluta stabilità per $\theta = 0.5$. Laddove ci troviamo fuori dalla regione di assoluta stabilità la soluzione esplode negli istanti temporali finali.

Per $\theta = 1$ il metodo è incondizionatamente assolutamente stabile e possiamo osservare che la condizione iniziale viene trasportata nella direzione positiva dell'asse x e soggetta a diffusione.

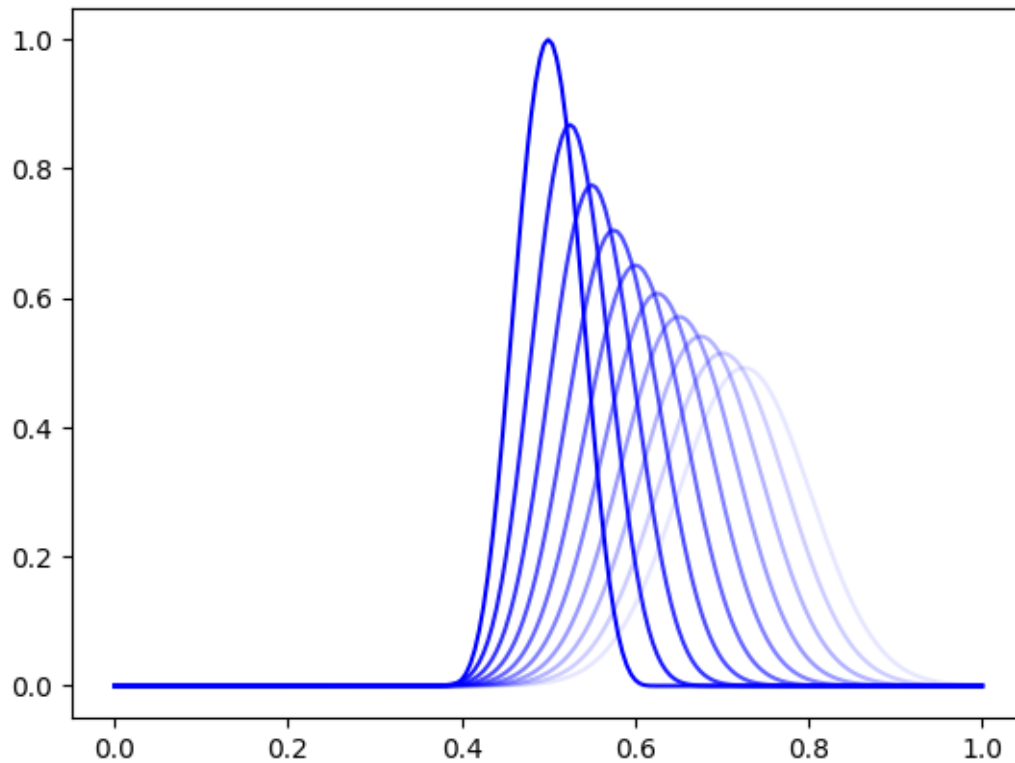
Aumentando ulteriormente il passo temporale Δt usciamo anche dalla regione di assoluta stabilità del theta methodo con $\theta = 0.5$ e osserviamo delle oscillazioni nella soluzione.

```
[ ]: # theta = 0.5, dt = 1e-1
V,u,t = parabolicSolve(a,b,f,u0,L,h,T,1e-1,0.5)
xtplot(V,u,t,'fade')
plt.show()
```



Diminuendo il passo Δt possiamo osservare invece che anche il metodo per $\theta = 0$ diventa assolutamente stabile.

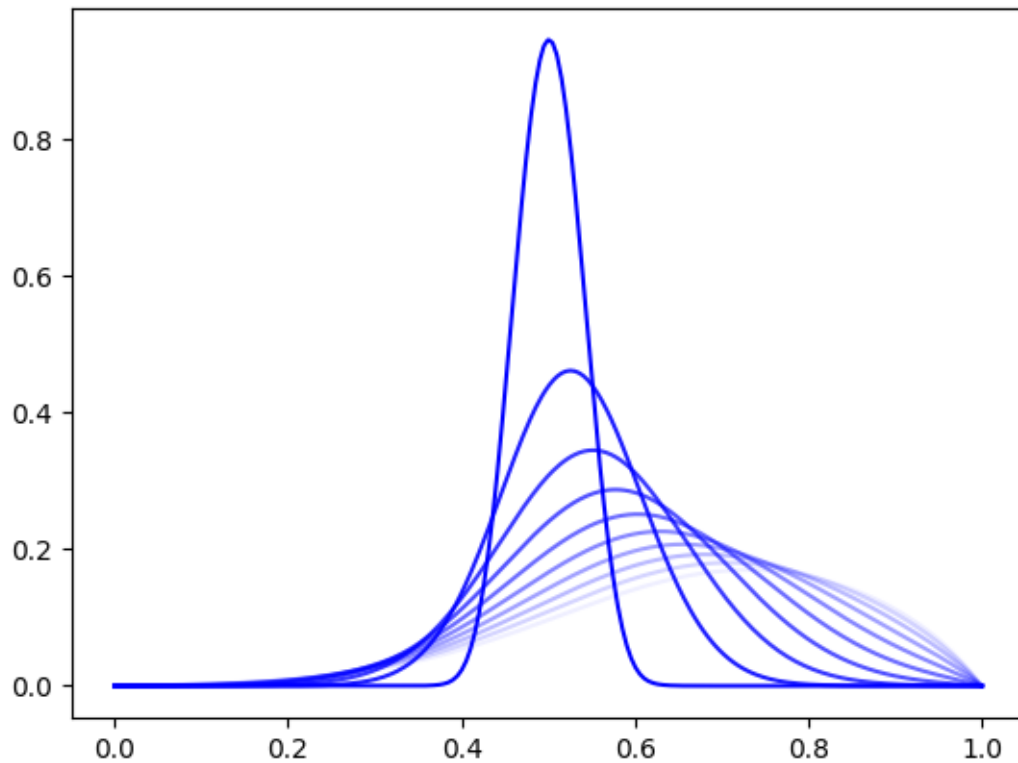
```
[ ]: # theta = 0.5, dt = 1e-1
V,u,t = parabolicSolve(a,b,f,u0,L,h,T,1e-4,0)
xtpplot(V,u,t,'fade')
plt.show()
```



Esercizio 2.2

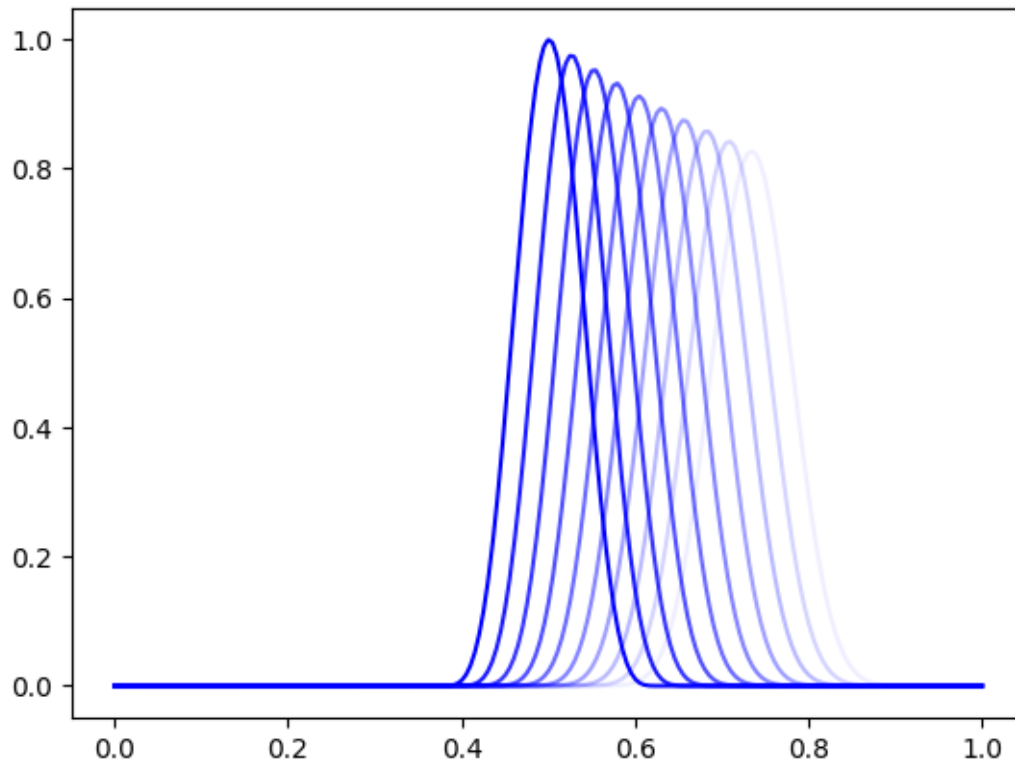
Si ripeta il punto precedente variando i valori di $a > 0$ e $b \in \mathbb{R}$. Come cambia la soluzione numerica?

```
[ ]: # a = 1e-1, theta = 1
V,u,t = parabolicSolve(1e-1,b,f,u0,L,h,T,dt,1)
xtplot(V,u,t,'fade')
plt.show()
```



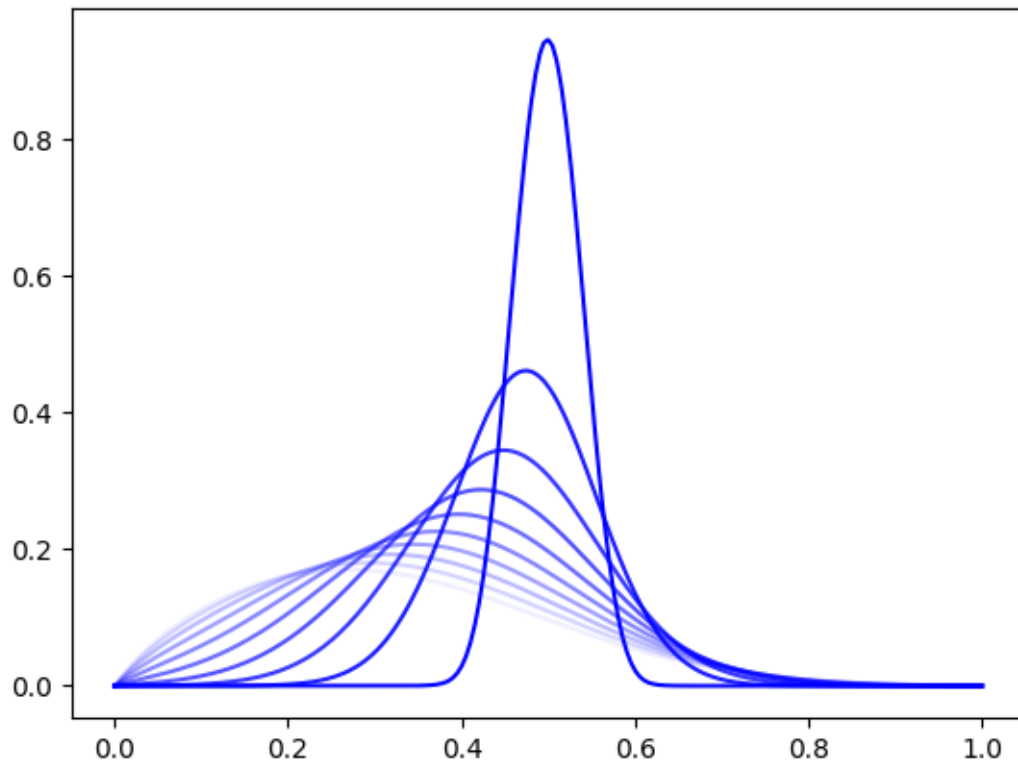
Aumentando il coefficiente a la soluzione è soggetta maggiormente all'effetto di diffusione e possiamo osservare la più rapida diminuzione dell'ampiezza della condizione iniziale.

```
[ ]: # a = 1e-3, theta = 1
V,u,t = parabolicSolve(1e-3,b,f,u0,L,h,T,dt,1)
xtplot(V,u,t,'fade')
plt.show()
```



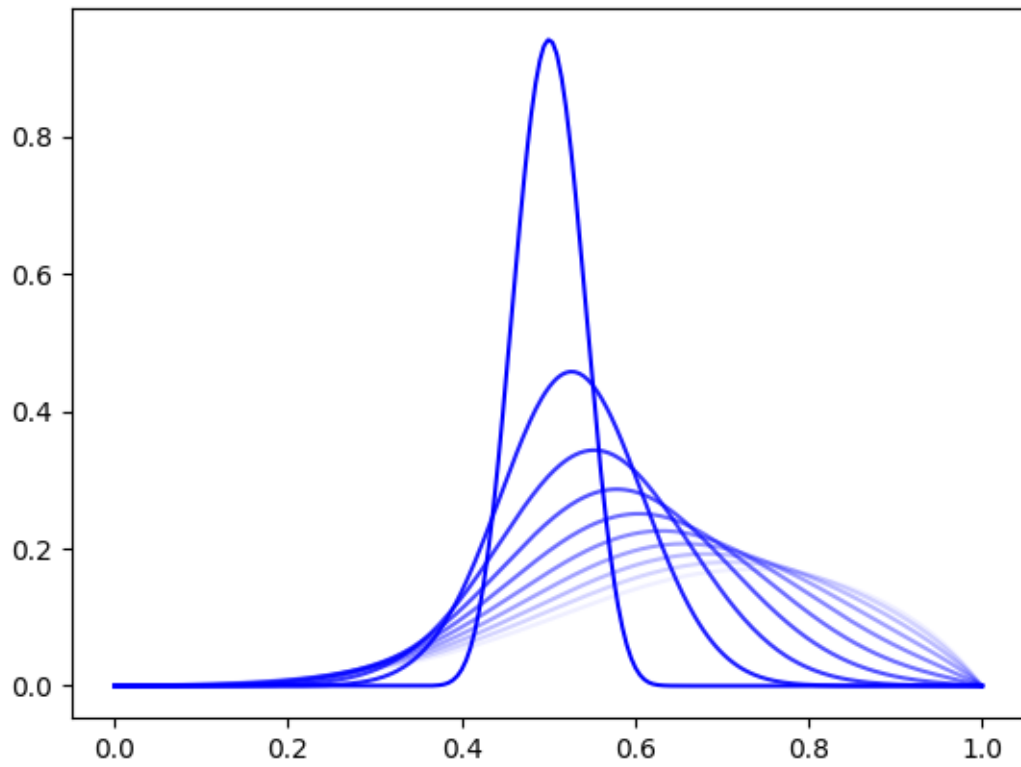
Rimpicciolendo il coefficiente a la soluzione è meno soggetta a diffusione e osserviamo la condizione iniziale trasportata lungo la direzione positiva dell'asse x con lieve diminuzione della sua ampiezza.

```
[ ]: # inverte la velocità di trasporto, theta = 1
V,u,t = parabolicSolve(1e-1,-b,f,u0,L,h,T,dt,1)
xtpplot(V,u,t,'fade')
plt.show()
```

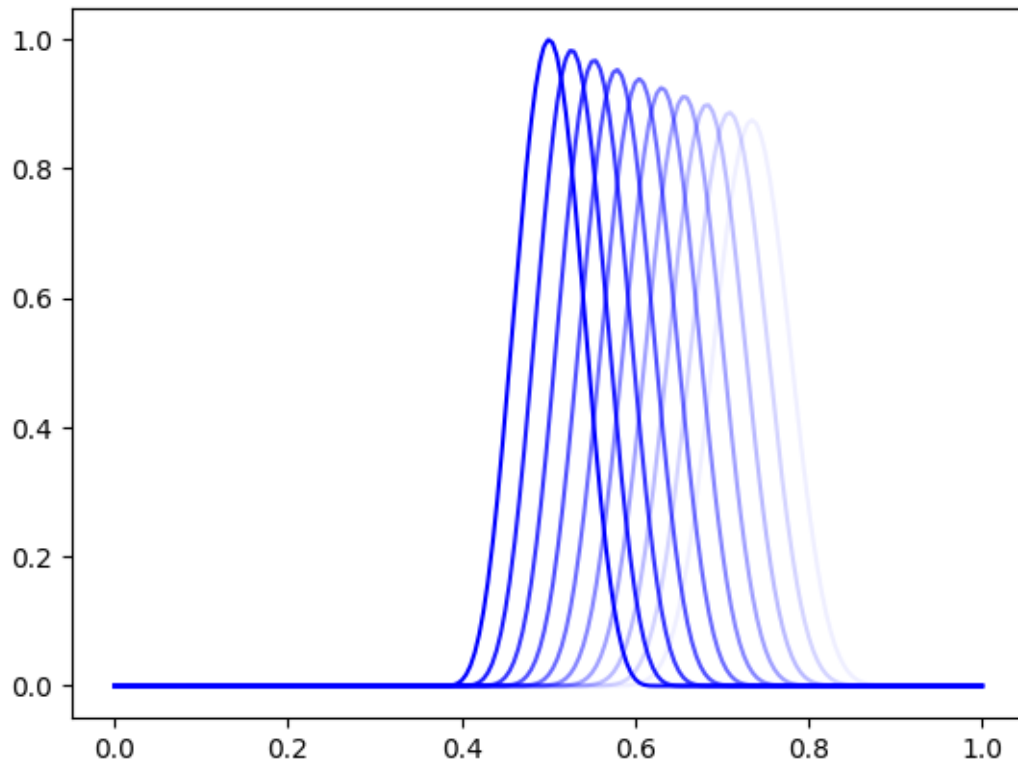


Invertendo il segno del coefficiente c abbiamo invertito il verso della velocità di trasporto. Adesso la condizione iniziale viene trasportata lungo la direzione negativa dell'asse x .

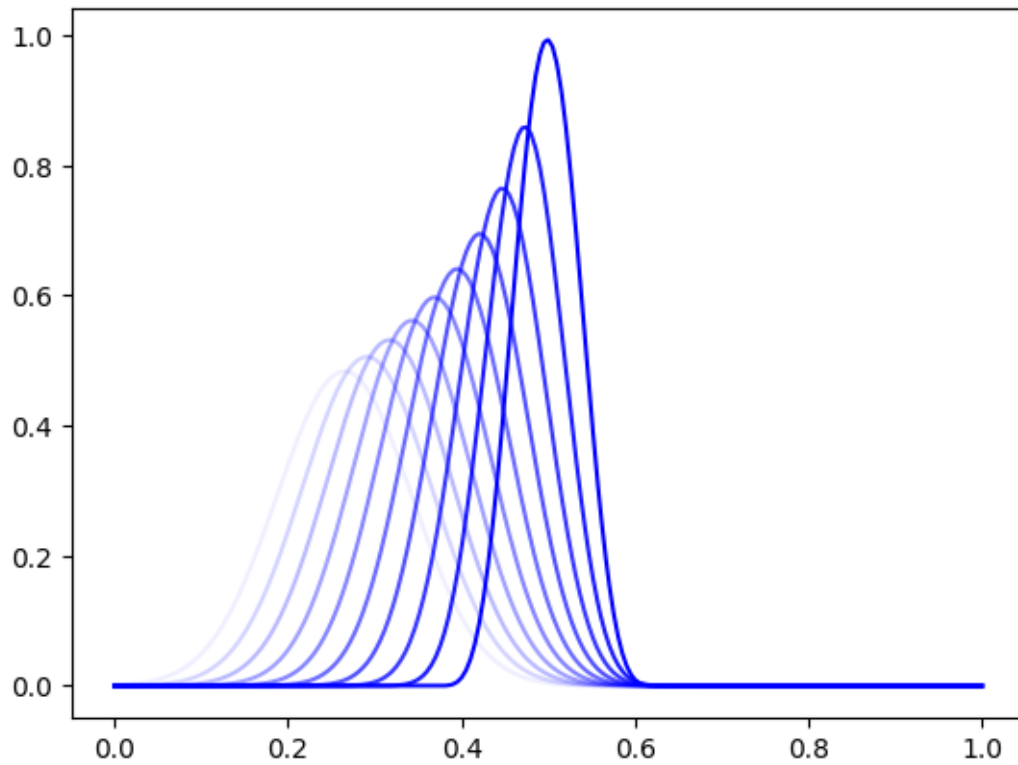
```
[ ]: # a = 1e-1, theta = 0.5
V,u,t = parabolicSolve(1e-1,b,f,u0,L,h,T,dt,0.5)
xtpplot(V,u,t,'fade')
plt.show()
```



```
[ ]: # a = 1e-3, theta = 0.5
V,u,t = parabolicSolve(1e-3,b,f,u0,L,h,T,dt,0.5)
xtplot(V,u,t,'fade')
plt.show()
```

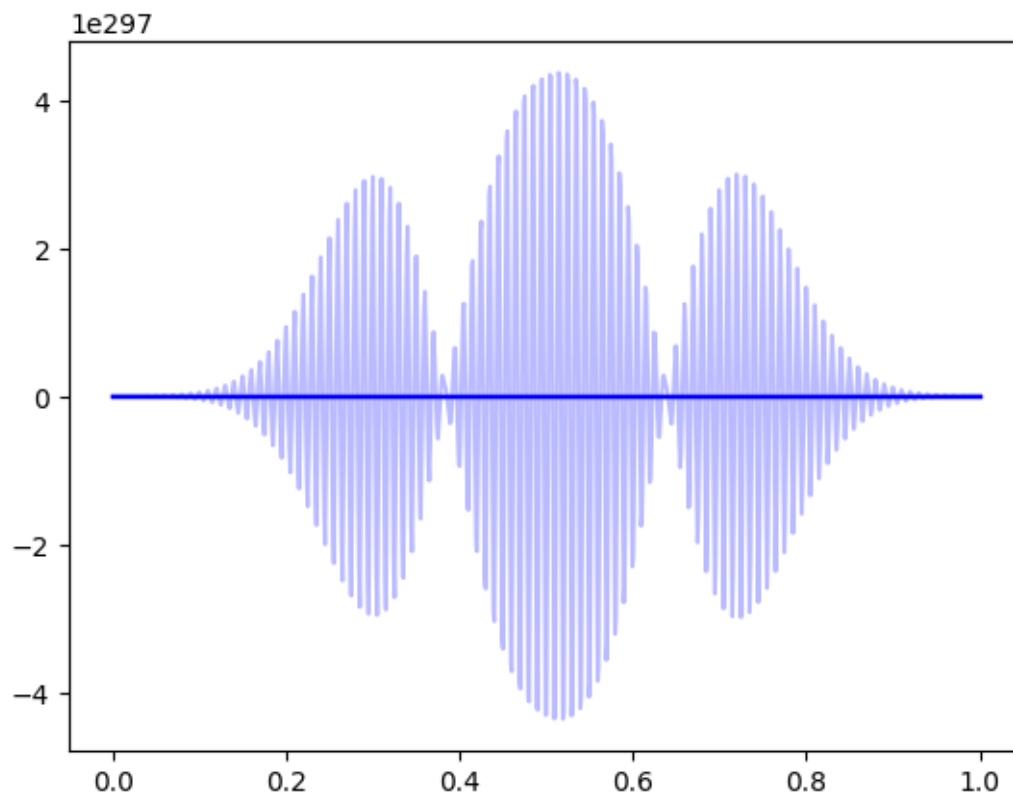


```
[ ]: # inverto la velocità di trasporto theta = 0.5
V,u,t = parabolicSolve(a,-b,f,u0,L,h,T,dt,0.5)
xtplot(V,u,t,'fade')
plt.show()
```

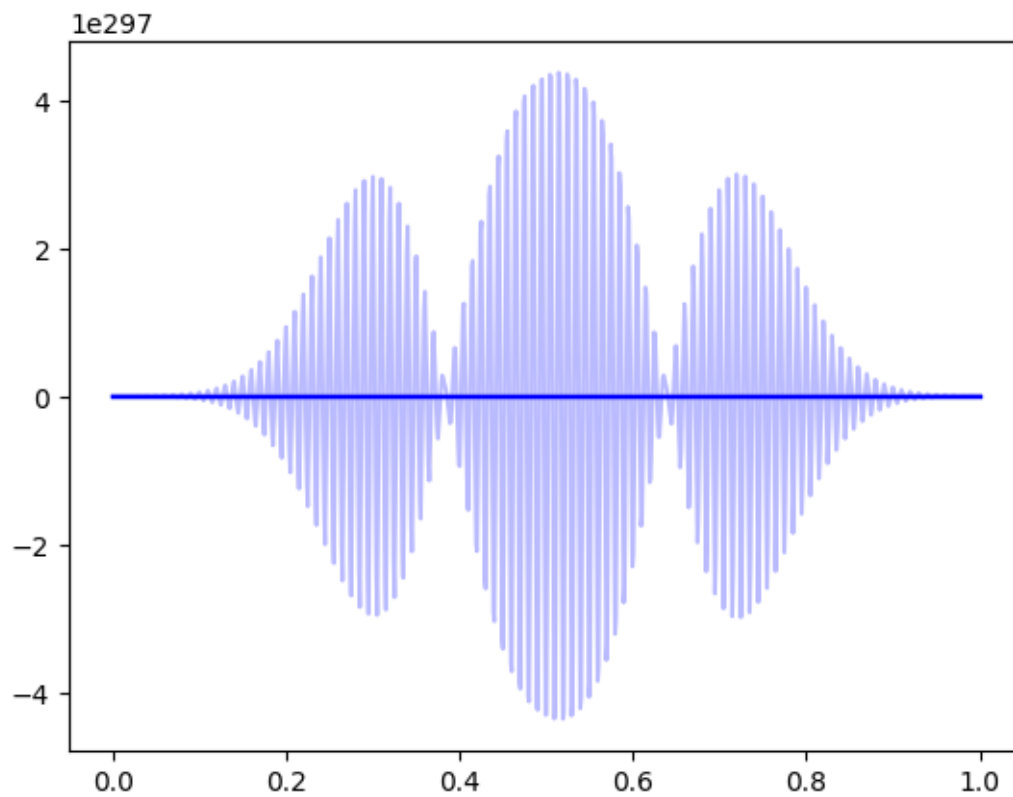



Ci troviamo ancora nella regione di assoluta stabilità per il theta metodo con $\theta = 0.5$ e i risultati al variare di a e b rispecchiano quelli ottenuti per $\theta = 0$.

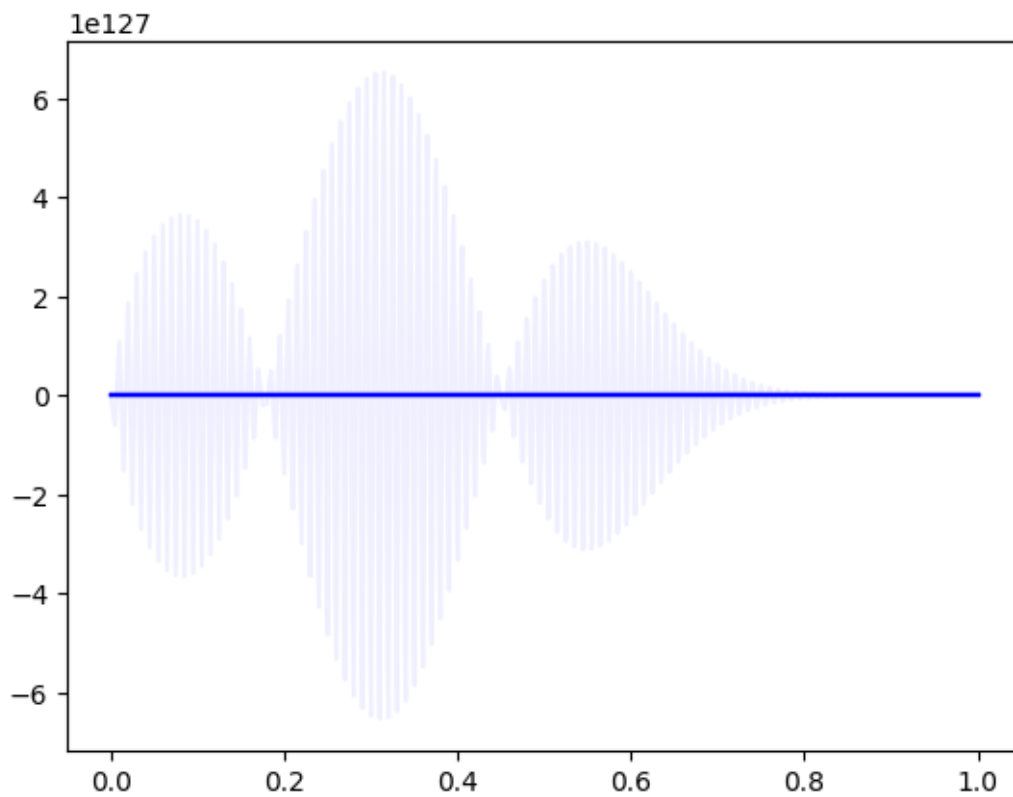
```
[ ]: # a = 1e-1, theta = 0
V,u,t = parabolicSolve(1e-1,b,f,u0,L,h,T,dt,0)
xtpplot(V,u,t,'fade')
plt.show()
```



```
[ ]: # a = 1e-3, theta = 0
V,u,t = parabolicSolve(1e-1,b,f,u0,L,h,T,dt,0)
xtplot(V,u,t,'fade')
plt.show()
```



```
[ ]: # inverto la velocità di trasporto, theta = 0
V,u,t = parabolicSolve(a,-b,f,u0,L,h,T,dt,0)
xtpplot(V,u,t,'fade')
plt.show()
```



Trovandoci al di fuori della regione di assoluta stabilità per il theta metodo con $\theta = 0$, la soluzione esplode negli istanti finali e non possiamo osservare i cambiamenti attesi dovuti alla variazione dei parametri.